

ES704 – Instrumentação Básica

08 – Medição de tensão e deformação

Eric Fujiwara

Unicamp – FEM – DSI

Índice

- **Índice:**
 - 1) Tensão e deformação;
 - 2) Extensômetro;
 - 3) Métodos ópticos;
 - Questionário;
 - Referências;
 - Exercícios.

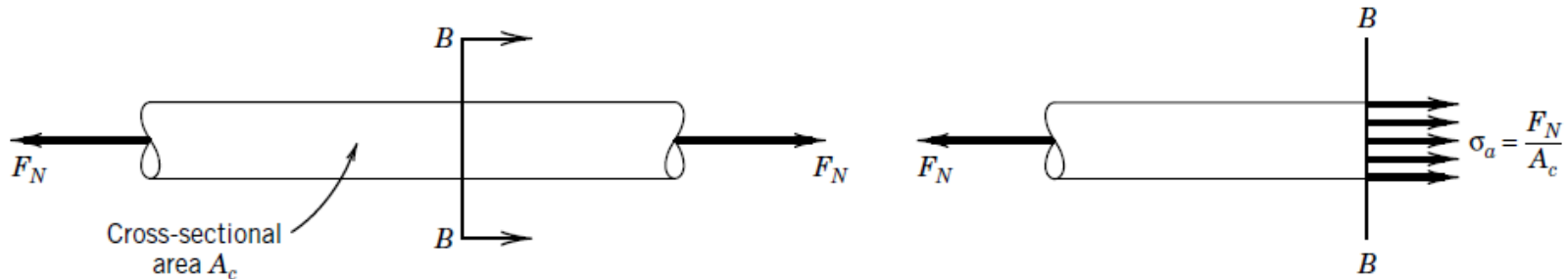
1. Tensão e deformação

■ 1.1. Carregamento uniaxial:

- Seja um corpo **homogêneo** e **isotrópico** submetido a uma força de tração F_N uniaxial;
- **Tensão axial** (Pa):

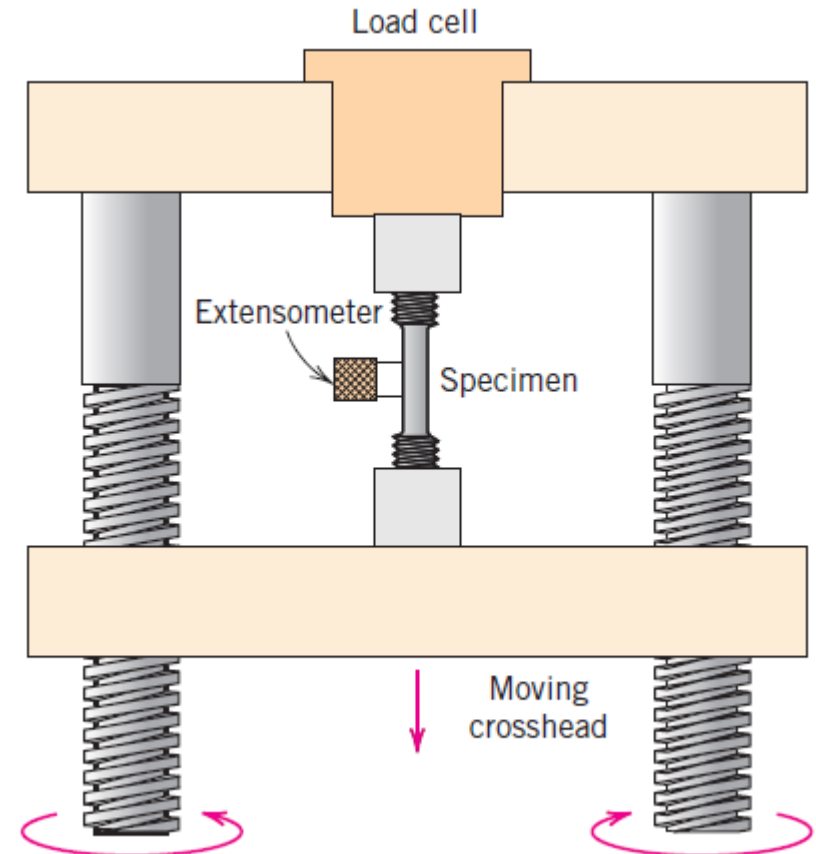
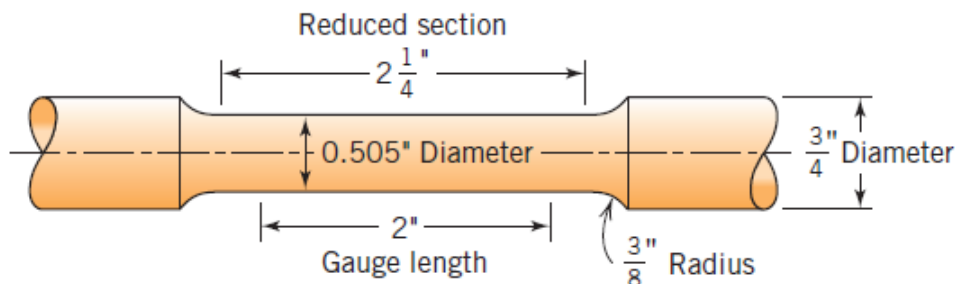
$$\sigma_a = \frac{F_N}{A_c} \quad (8.1)$$

- A_c : área da seção transversal.



1. Tensão e deformação

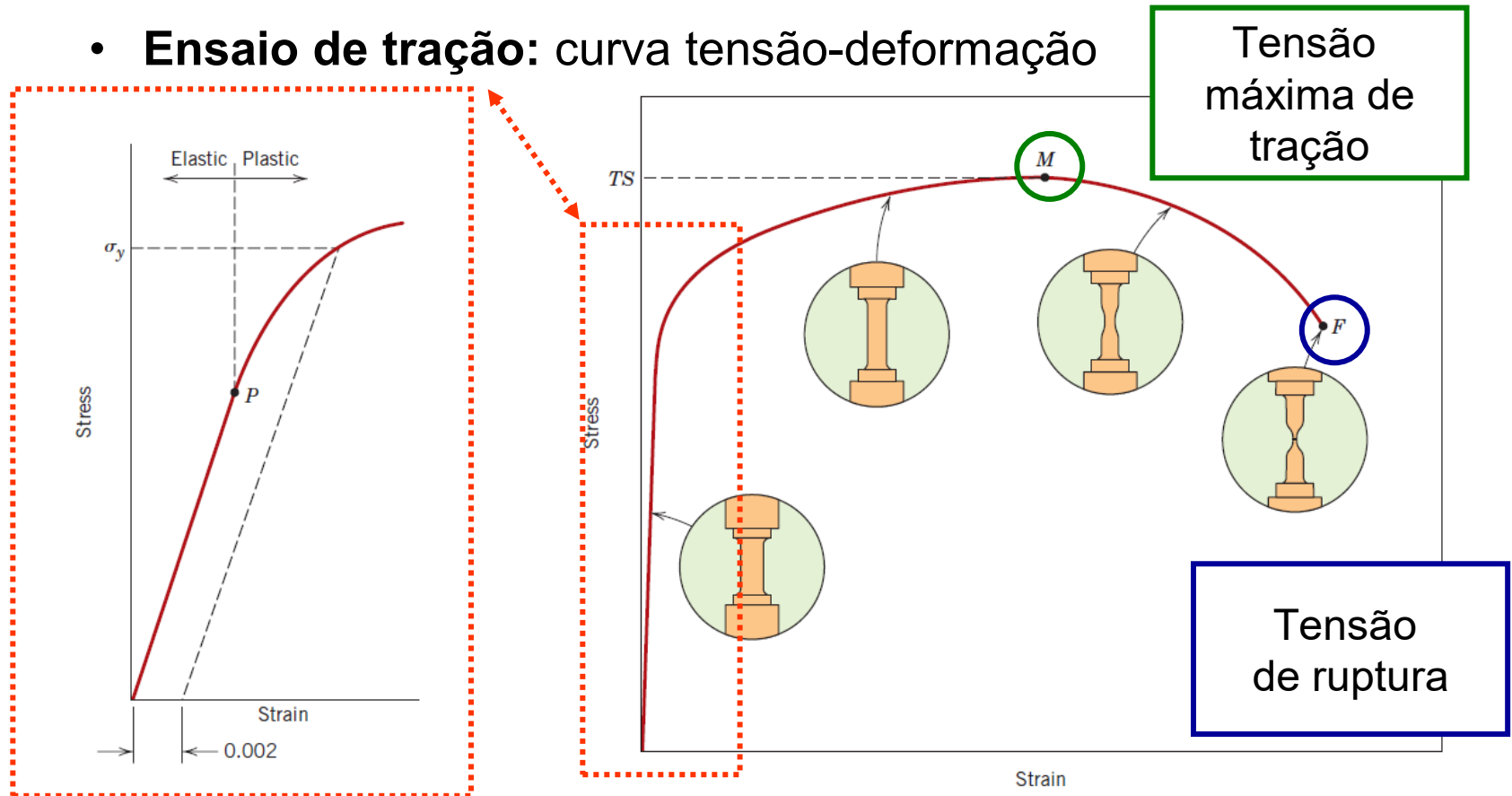
- 1.1. Carregamento uniaxial:
 - Ensaio de tração:
 - O corpo de prova é submetido a um carregamento controlado até a ruptura para determinar a resposta de tensão-deformação.



1. Tensão e deformação

■ 1.1. Carregamento uniaxial:

- Ensaio de tração: curva tensão-deformação



1. Tensão e deformação

▪ 1.1. Carregamento uniaxial:

- No **regime elástico**, vale a relação linear (**Lei de Hooke**):

$$\sigma_a = E_m \varepsilon_a \quad (8.2)$$

- E_m : Módulo de elasticidade (Young) – Pa;
- **Deformação axial** (m/m):

$$\varepsilon_a = \frac{\Delta L}{L} \quad (8.3)$$

- Onde L é o comprimento inicial e ΔL é a variação de comprimento;
- ε_a é adimensional, usualmente expressa com microdeformação
 $\mu\varepsilon_a = \varepsilon_a \times 10^6$

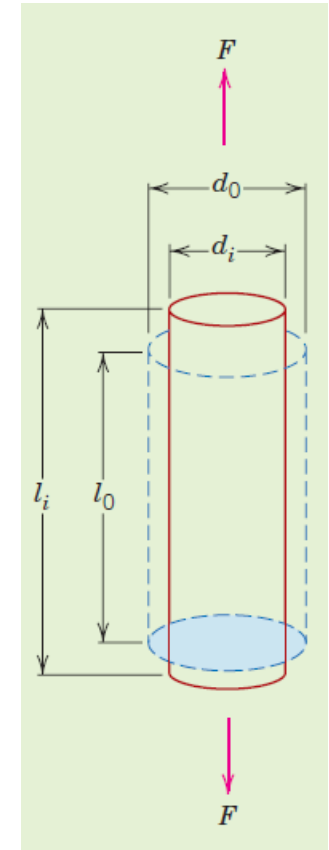
1. Tensão e deformação

- 1.1. Carregamento uniaxial:
 - Deformação lateral (m/m):

$$\varepsilon_L = \frac{\Delta d}{d} \quad (8.4)$$

- Onde d é o diâmetro inicial e Δd é a variação de diâmetro;
- A relação entre deformações axial e lateral é dada pelo **coeficiente de Poisson**:

$$\nu_p = - \frac{\varepsilon_L}{\varepsilon_a} \quad (8.5)$$



1. Tensão e deformação

1.2. Estado biaxial de tensões:

$$\varepsilon_x = \frac{\sigma_x}{E_m} - \nu_p \frac{\sigma_y}{E_m}$$

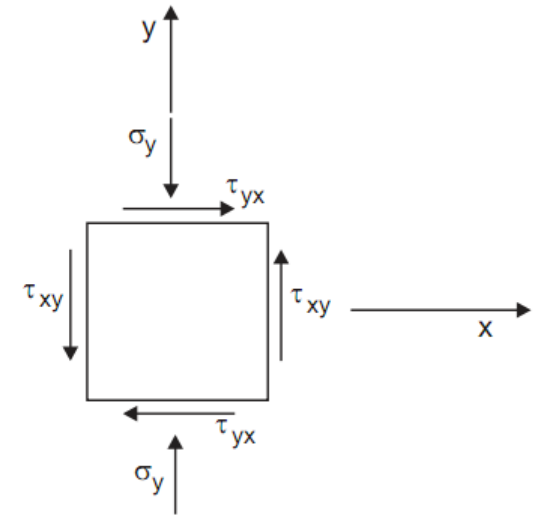
$$\varepsilon_y = \frac{\sigma_y}{E_m} - \nu_p \frac{\sigma_x}{E_m}$$

$$\sigma_x = \frac{E_m(\varepsilon_x + \nu_p \varepsilon_y)}{1 - \nu_p^2}$$

$$\sigma_y = \frac{E_m(\varepsilon_y + \nu_p \varepsilon_x)}{1 - \nu_p^2}$$

$$\tau_{xy} = G\gamma_{xy}$$

(8.6)



- τ_{xy} : tensão de cisalhamento (Pa);
- γ_{xy} : deformação no plano de cisalhamento;
- G : módulo de cisalhamento.

1. Tensão e deformação

1.3. Estado triaxial de tensões:

$$\varepsilon_x = \frac{\sigma_x}{E_m} - \frac{\nu_p}{E_m} (\sigma_y + \sigma_z)$$

$$\gamma_{xy} = \frac{\tau_{xy}}{G}$$

$$\varepsilon_y = \frac{\sigma_y}{E_m} - \frac{\nu_p}{E_m} (\sigma_x + \sigma_z)$$

$$\gamma_{xz} = \frac{\tau_{xz}}{G}$$

$$\varepsilon_z = \frac{\sigma_z}{E_m} - \frac{\nu_p}{E_m} (\sigma_x + \sigma_y)$$

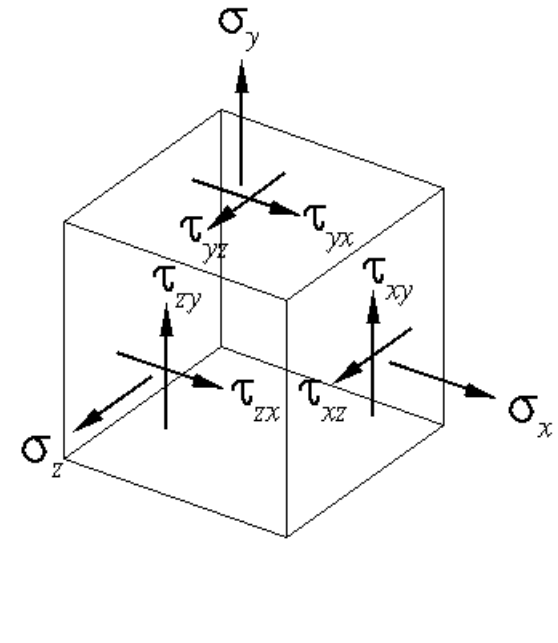
$$\gamma_{yz} = \frac{\tau_{yz}}{G}$$

(8.7)

• Tensor de tensões:

$$\mathbf{T}_3 = \begin{bmatrix} \sigma_x & \tau_{xy} & \tau_{xz} \\ \tau_{xy} & \sigma_y & \tau_{yz} \\ \tau_{xz} & \tau_{yz} & \sigma_z \end{bmatrix}$$

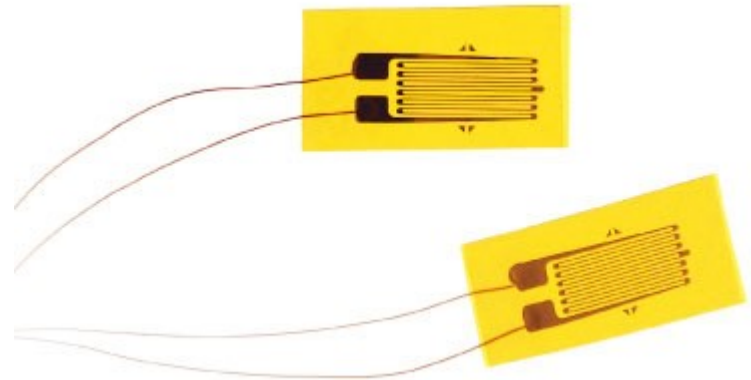
(8.8)



2. Extensômetro

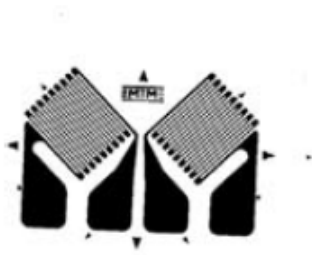
▪ 2.1. Extensômetro (strain gauge):

- Dispositivo que mede deformação (tensão) uniaxial, aplicado também em monitoramento de força, torque e deslocamento;
- A combinação de vários gauges (rosetas) permite determinar estados de tensão 2D e 3D;
- **Tipos de strain gauge:**
 - Piezorresistivo;
 - Semicondutor;
 - Piezelétrico.



2. Extensômetro

- 2.1. Extensômetro (strain gauge):
 - Configurações de strain gauge:



Torque



Linear



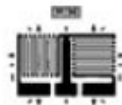
Delta



Tensão residual



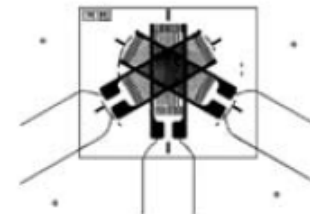
Diafragma



T



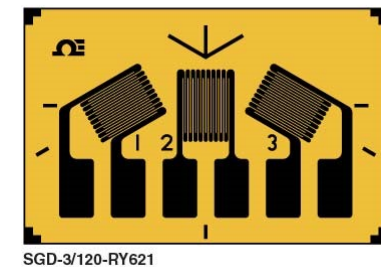
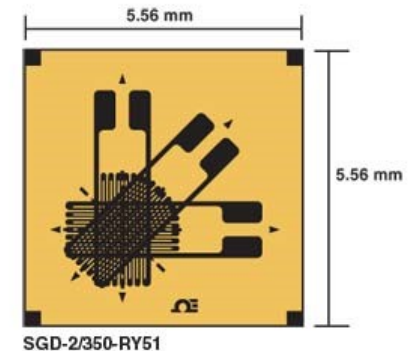
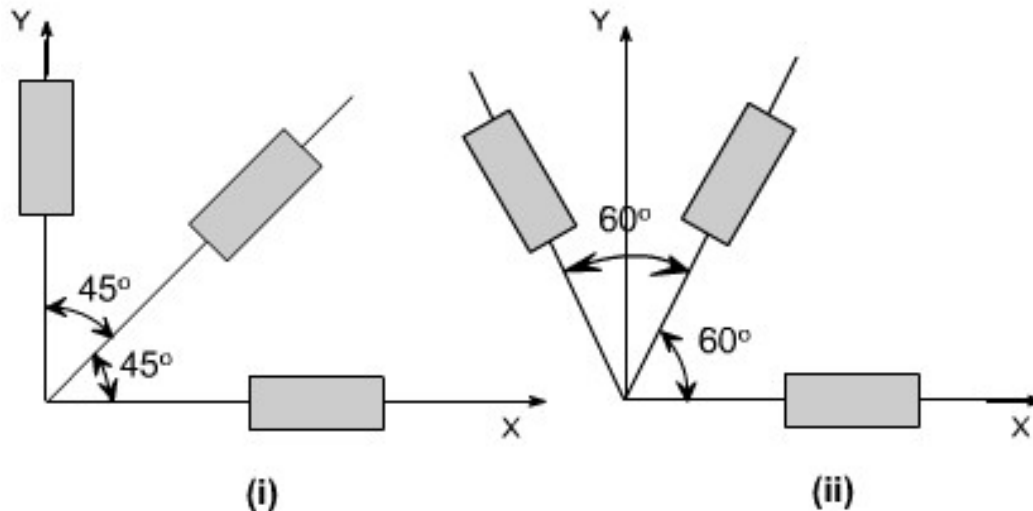
Retangular



Empilhado

2. Extensômetro

- 2.1. Extensômetro (strain gauge):
 - Rosetas:** monitoramento de estados 2D e 3D de tensão.



2. Extensômetro

▪ 2.1. Extensômetro (strain gauge):

- Resistência elétrica:

$$R = \frac{\rho l}{A} \quad (8.9)$$

- Variação da resistência elétrica:

$$\frac{\Delta R}{R} = (1 + 2\nu_p + k_\pi E_m) \frac{\Delta L}{L} = GF \frac{\Delta L}{L} \quad (8.10)$$

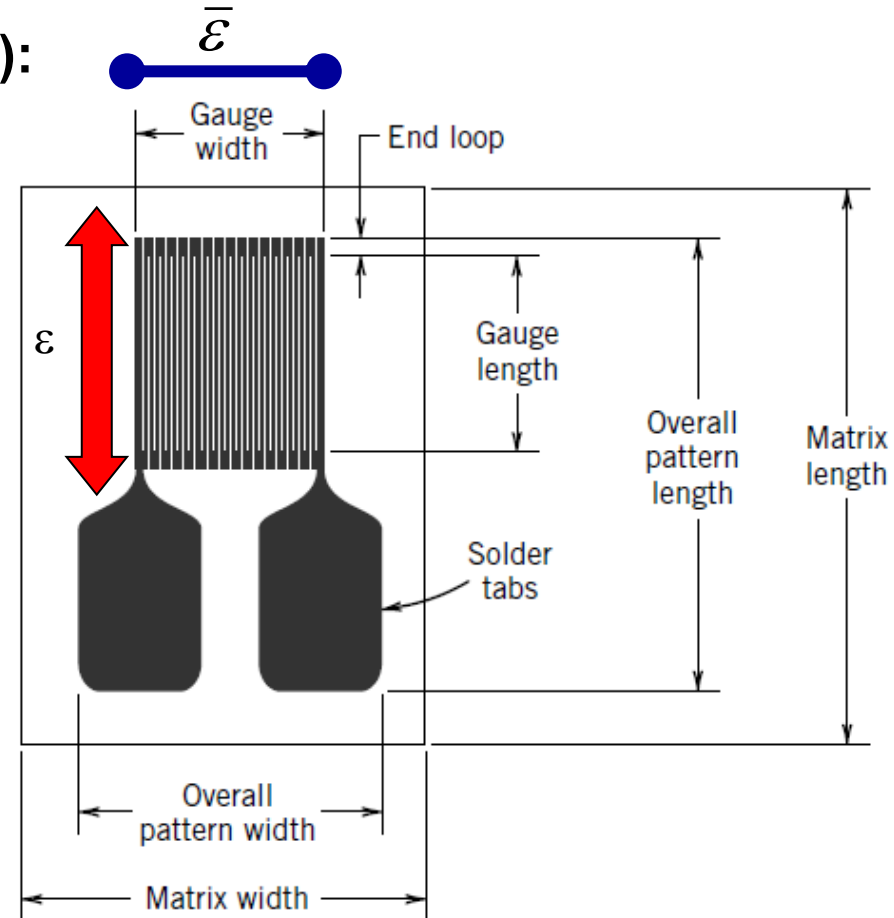
- ρ : resistividade elétrica;
- k_π : coeficiente de piezorresistência;
- GF : Gauge factor – ganho do strain gauge.

2. Extensômetro

2.1. Extensômetro (strain gauge):

- **Estrutura do strain gauge:**

- Trilha de circuito impresso sobre substrato plástico;
- Posicionado no ponto de tensão máxima para medir a tensão média ao longo do comprimento do gauge;
- O extensômetro é acoplado à superfície analisada através de adesivos isolantes com baixa expansão térmica.

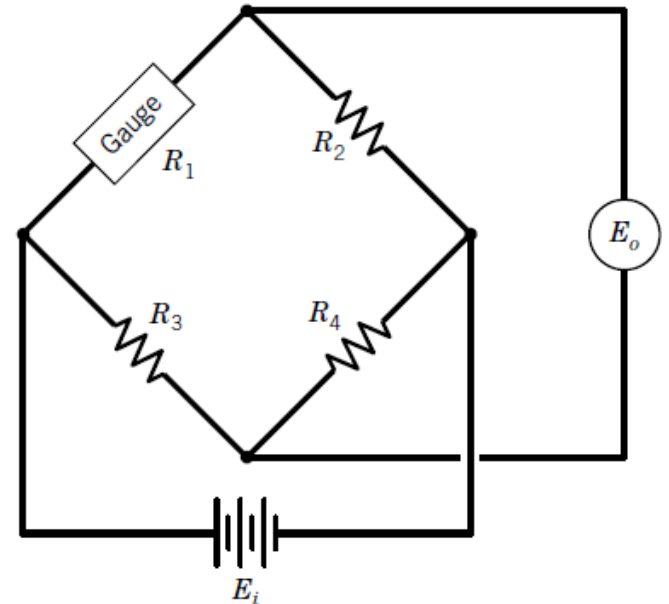


2. Extensômetro

- 2.2. Interrogação de strain gauges:
 - Ponte de Wheatstone equilibrada com um gauge:

$$\boxed{\frac{\Delta E_o}{E_i} = \frac{1}{4} \frac{\Delta R}{R} = \frac{GF}{4} \varepsilon} \quad (8.11)$$

- Tensão inicial nula, resistências iniciais R , strain gauge sujeito à variação de resistência
 $R_1 = R + \Delta R$.



2. Extensômetro

▪ 2.2. Interrogação de strain gauges:

- Ponte com múltiplos gauges:

$$\frac{\Delta E_o}{E_i} = \frac{R_2 \Delta R_1 - R_1 \Delta R_2}{(R_1 + R_2)^2} + \frac{R_3 \Delta R_4 - R_4 \Delta R_3}{(R_3 + R_4)^2} \quad (8.12)$$

- Considerando todos os gauges idênticos (mesmo GF):

$$\frac{\Delta E_o}{E_i} = \frac{GF}{4} (\varepsilon_1 - \varepsilon_2 - \varepsilon_3 + \varepsilon_4) \quad (8.13)$$

- **Constante da ponte:** resposta relativa ao caso de único gauge.

$$\kappa = \frac{\Delta E_{o,\text{multi}}}{\Delta E_{o,\text{single}}} = \frac{1}{\varepsilon_{\text{max}}} \sum_{n=1}^4 \pm \varepsilon_n \quad (8.14)$$

2. Extensômetro

▪ 2.2. Interrogação de strain gauges:

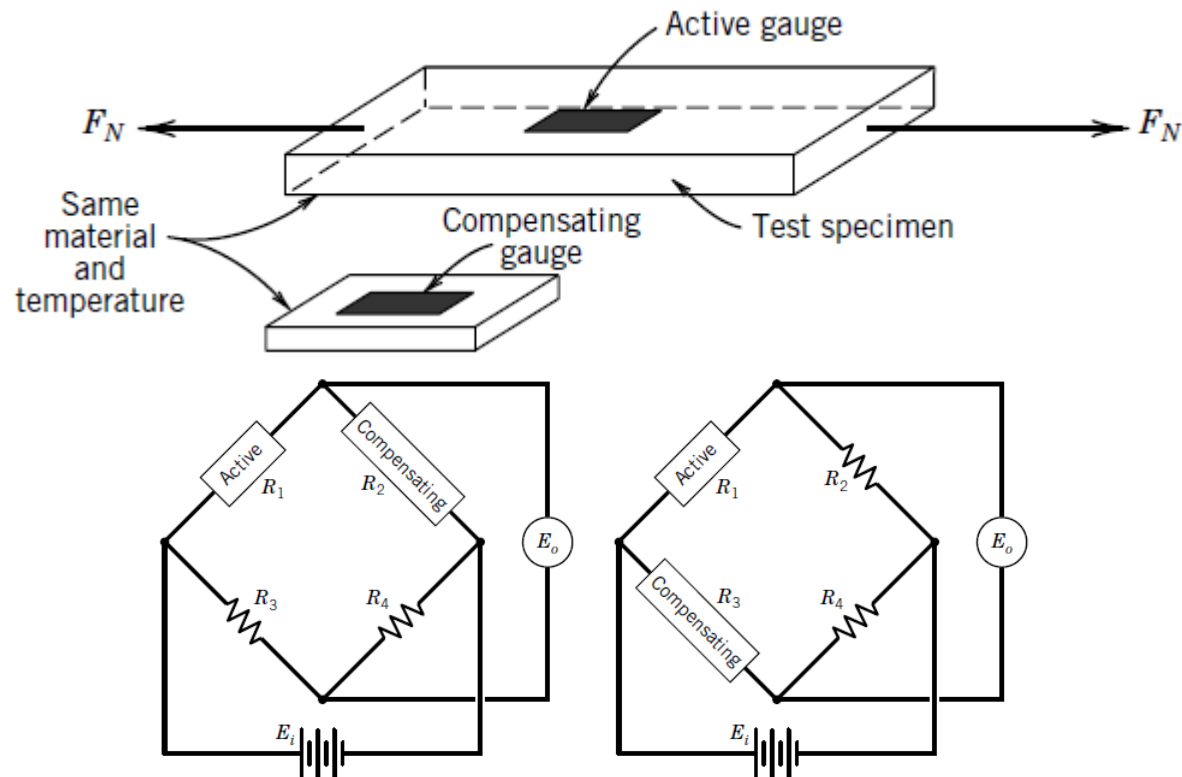
- **Deformação aparente:** a deformação axial ε_a medida pelo strain gauge é sujeita a deformação lateral ε_L e ao efeito de variação térmica ΔT .

$$\boxed{\frac{\Delta R}{R} = GF_a \varepsilon_a + GF_L \varepsilon_L + GF_T \Delta T} \quad (8.15)$$

- Estes efeitos podem ser cancelados utilizando gagues de referência na ponte, insensíveis aos efeitos externos;
- Da mesma forma, gauges adicionais podem ser utilizados para amplificar a saída da medição.

2. Extensômetro

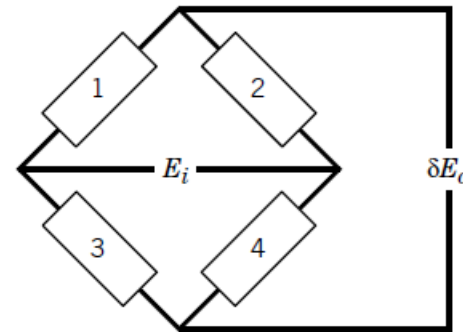
- 2.2. Interrogação de strain gauges:
 - Compensação de temperatura:



2. Extensômetro

- 2.2. Interrogação de strain gauges:
 - Constante de ponte:

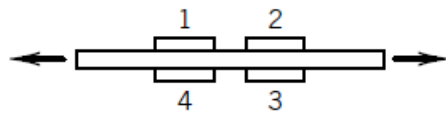
$$\kappa = \frac{\Delta E_{o,\text{multi}}}{\Delta E_{o,\text{single}}} = \frac{1}{\varepsilon_{\text{max}}} \sum_{n=1}^4 \pm \varepsilon_n$$



	Arrangement	Compensation Provided	Bridge Constant κ
	Single gauge in uniaxial stress	None	$\kappa = 1$
	Two gauges sensing equal and opposite strain—typical bending arrangement	Temperature	$\kappa = 2$
	Two gauges in uniaxial stress	Bending only	$\kappa = 2$

2. Extensômetro

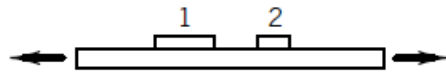
- 2.2. Interrogação de strain gauges:
 - Constante de ponte:



Four gauges with pairs sensing equal and opposite strains

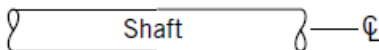
Temperature and bending

$$\kappa = 4$$



One axial gauge and one Poisson gauge

$$\kappa = 1 + \nu$$



Four gauges with pairs sensing equal and opposite strains—sensitive to torsion only; typical shaft arrangement.

Temperature and axial

$$\kappa = 4$$

2. Extensômetro

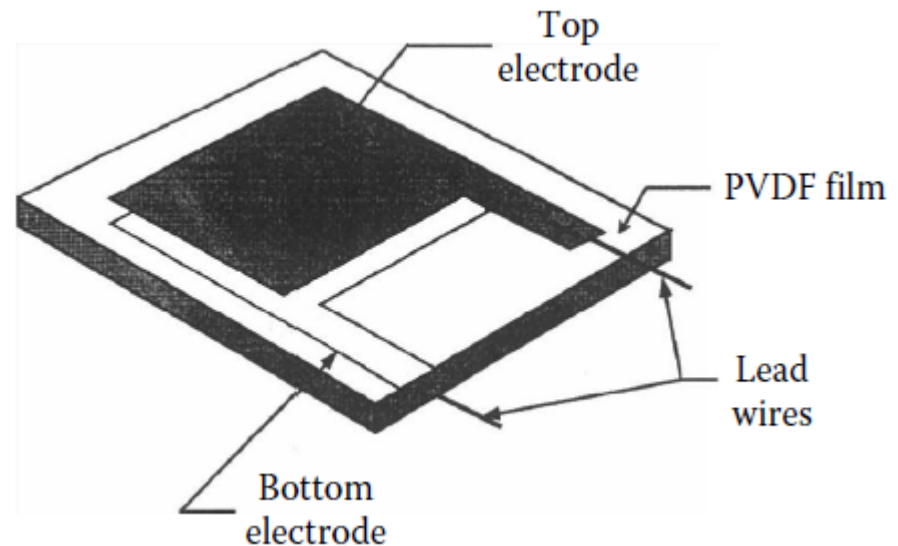
▪ 2.2. Extensômetro semicondutor:

- Altos valores de coeficiente de piezorresistência, resultando em GF maiores;
- Maior resistência à fadiga e menor histerese em comparação a gauges metálicos;
- Tamanho compacto, boa resposta em frequência, alta tolerância à compressão;
- A resistência varia de forma não-linear com a deformação, vulnerabilidade à variação de temperatura, limitação no valor de deformação máxima.

2. Extensômetro

▪ 2.3. Extensômetro piezelétrico:

- Baseado em um substrato condutor sobreposto por uma placa fina condutora, formando um capacitor. Os eletrodos são intermediados por um material piezelétrico, que funciona como o dielétrico do capacitor;
- Ao sofrer deformação, o dielétrico produz cargas elétricas que são coletadas pelos eletrodos. A carga elétrica no capacitor é proporcional à deformação do dielétrico.



3. Métodos ópticos

▪ 3.1. Efeito fotoelástico:

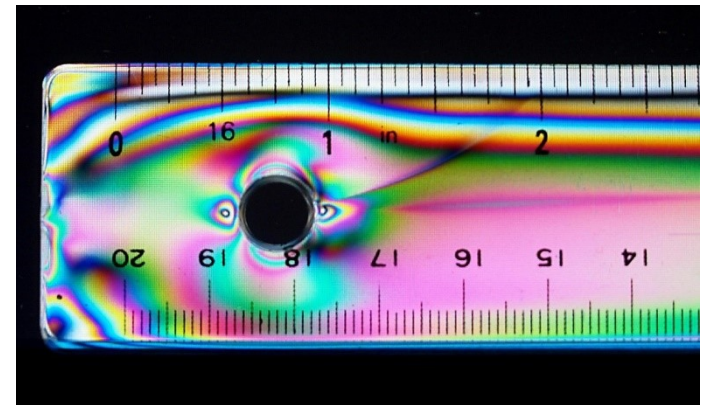
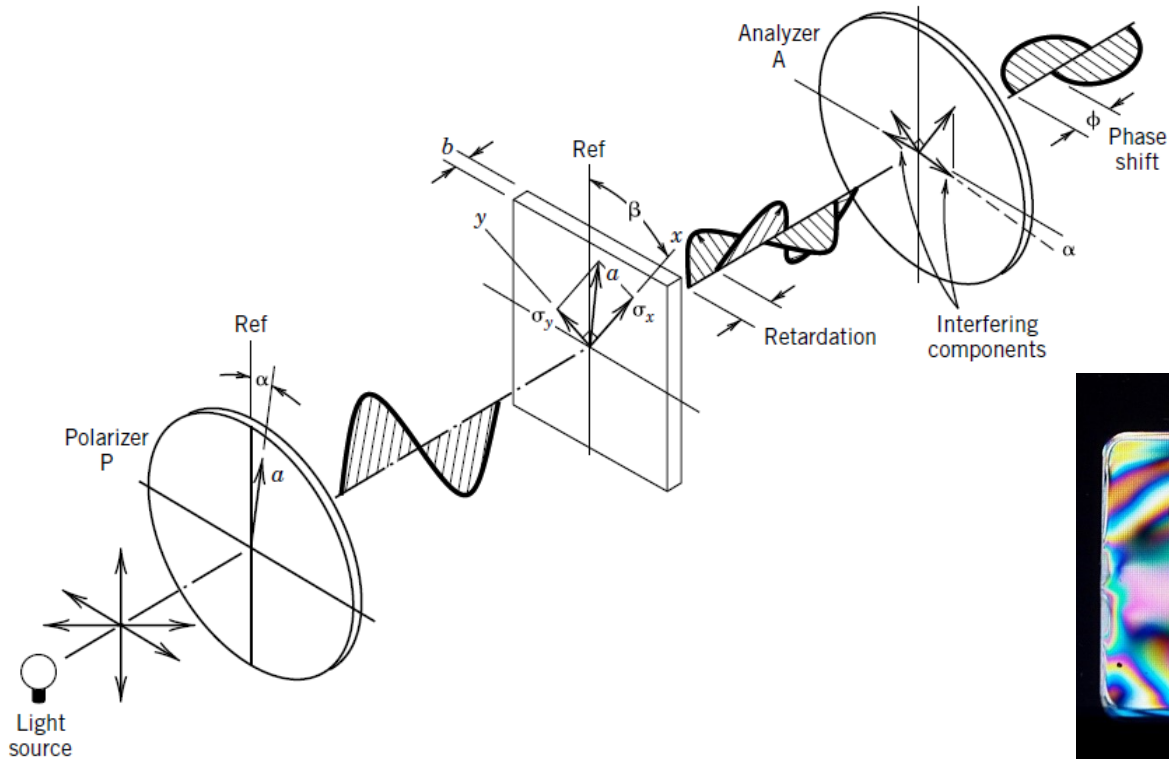
- **Birrefringência:** diferença entre os índices de refração ortogonais de um material $\Delta n = n_x - n_y$;
- **Efeito fotoelástico:** variação do índice de refração em resposta à deformação do material.

$$\Delta n = n_x - n_y = K_b (\sigma_x - \sigma_y) \quad (8.16)$$

- K_b : constante de Brewster;
- A diferença de índices pode ser medida em termos de diferença de fase $\Delta\phi$ excitando o material através de luz com polarização linear (fast axis, slow axis).

3. Métodos ópticos

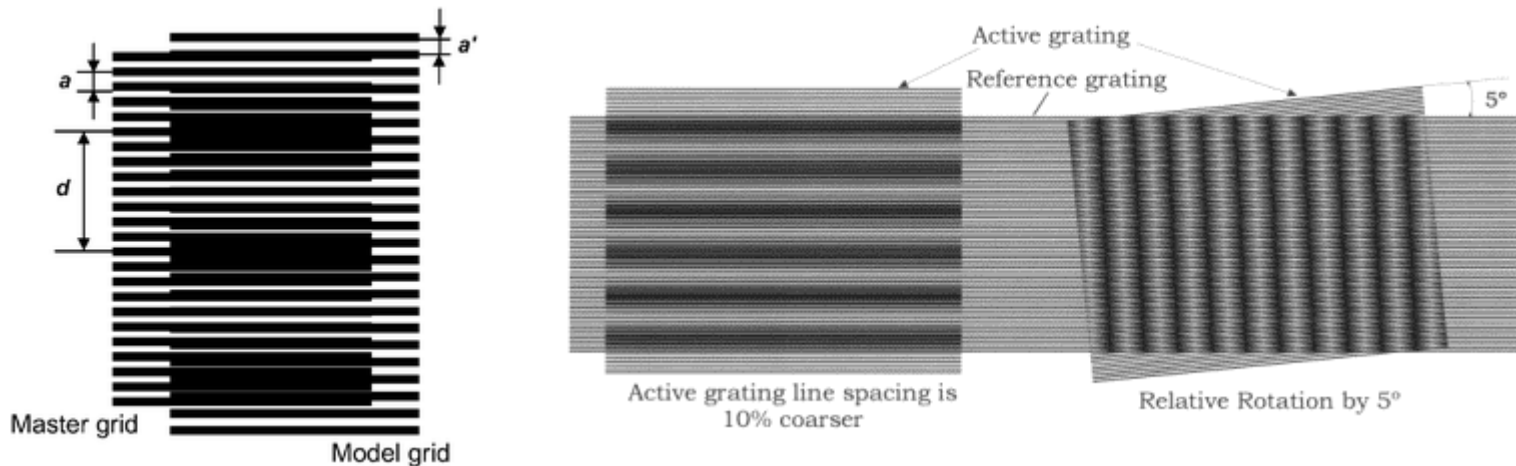
- 3.1. Efeito fotoelástico:
 - Medição de polarização:



3. Métodos ópticos

▪ 3.2. Padrão de Moiré:

- Sobreposição de padrões densos e defasados entre si para medir deslocamento/rotação de uma superfície. A grade variável é colada na superfície enquanto que a grade fixa é mantida entre o objeto e a câmera.



3. Métodos ópticos

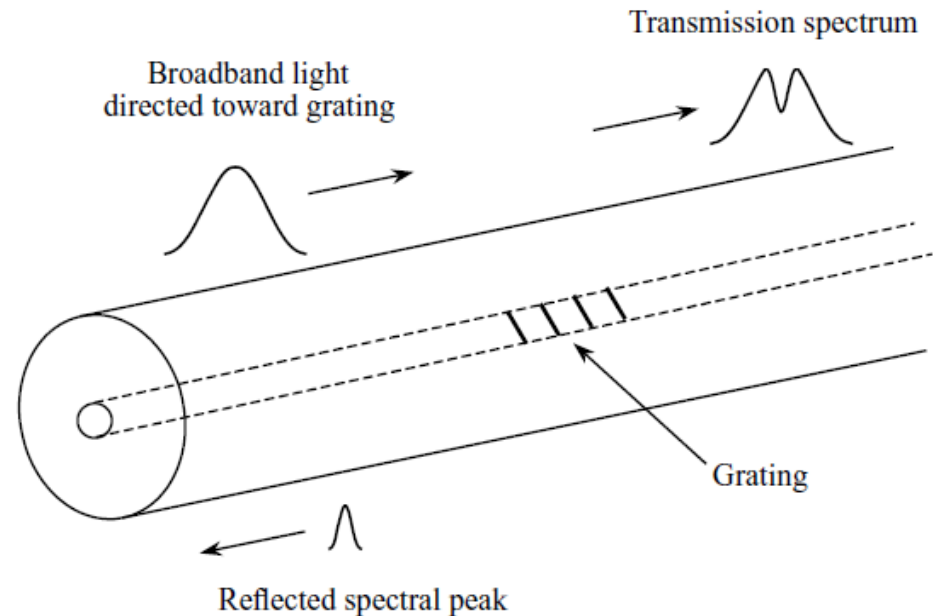
3.3. Extensômetro de fibra óptica:

- **Redes de Bragg em fibra (FBG):** Variações periódicas (Λ) no índice de refração da fibra (da ordem do comprimento de onda da luz). Funciona como um filtro notch óptico em λ_B .

$$\lambda_B = 2n\Lambda$$

$$\Delta\lambda_B = \lambda_B(1 - p_e)\varepsilon \quad (8.17)$$

- Onde $\Delta\lambda_B$ é o deslocamento espectral do filtro e p_e é o coeficiente fotoelástico.



Questionário

▪ Questionário:

- 1) Como funciona o strain gauge metálico? Como ele pode ser utilizado para medir força e torque?
- 2) Discuta sobre os efeitos de temperatura e histerese na resposta do strain gauge;
- 3) A medição do strain gauge depende do posicionamento preciso na amostra? Como compensar os erros de posicionamento?
- 4) É necessário utilizar um espectrômetro para monitorar a saída de uma FBG?
- 5) Como você faria para monitorar deformações micrométricas utilizando uma câmera e processamento de imagens?

Referências

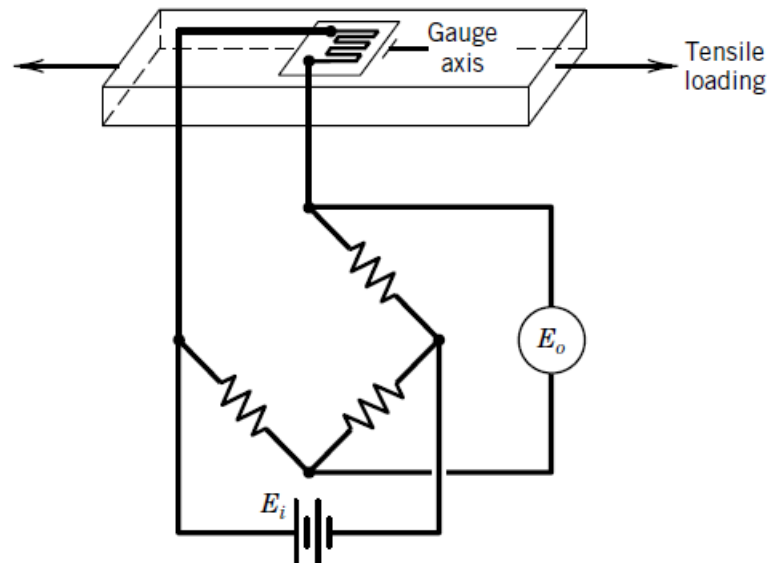
■ Referências:

- W.D. Callister Jr., Materials Science and Engineering – An Introduction, Wiley, 2007.
- R.S. Figliola, D.E. Beasley, Theory and Design for Mechanical Measurements, Wiley, 2011.
- A.S. Morris, Measurement & Instrumentation Principles, Butterworth Heinemann, 2001.
- J.G. Webster, H. Eren (Ed.) Measurement, Instrumentation, and Sensors Handbook, CRC Press, 2014.

Exercícios

Exercícios

- **Ex. 8.1)** Um strain gauge é utilizado para medir tensão em uma barra de aço. Calcule a variação na resistência do gauge devido à aplicação de uma força de 30 kN, sabendo que a resistência inicial do gauge é $120\ \Omega$ e $GF = 2$.
 - Barra de aço: $A_c = 3 \times 1\text{ cm}^2$, $E_m = 200 \times 10^6\text{ kN/m}^2$.



Exercícios

▪ Ex. 8.1)

- Deformação axial:

- $\sigma_a = \frac{F_N}{A_c} = 10^8 \text{ Pa};$

- $\sigma_a = E_m \varepsilon_a \Rightarrow \varepsilon_a = 5 \times 10^{-4};$

- Ponte de Wheatstone equilibrada, 1 gauge:

- $\frac{\Delta E_o}{E_i} = \frac{1}{4} \frac{\Delta R}{R} = \frac{1}{4} GF \varepsilon_a \Rightarrow \Delta R = 0.12 \Omega.$

Exercícios

- **Ex. 8.2)** Uma viga de aço é submetida a uma tensão uniaxial. Um strain gauge é alinhado com a solicitação axial e instalado na parte superior central da viga. Um segundo gauge é instalado na parte inferior central da viga. Os extensômetros ($GF = 2$) são conectados nas resistências 1 e 4 de uma ponte de Wheatstone (resistências iniciais de $120\ \Omega$). Para uma tensão de entrada de 10 V e deflexão de $10\ \mu\text{V}$, determine as deformações axiais.

Exercícios

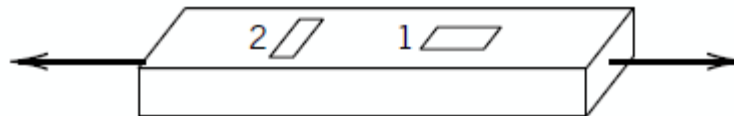
▪ Ex. 8.2)

- Para uma solicitação uniaxial, os dois gauges são submetidos à mesma tensão/deformação: $\varepsilon_1 = \varepsilon_4 = \varepsilon$;
- Considerando a ponte inicialmente equilibrada:

- $$\frac{\Delta E_o}{E_i} = \frac{GF}{4} 2\varepsilon \Rightarrow \varepsilon = \frac{2\Delta E_o}{GF \cdot E_i} = \frac{2 \cdot 10 \times 10^{-6}}{2 \cdot 10} = 1 \mu\varepsilon$$

Exercícios

- **Ex. 8.3)** A análise de uma estrutura é realizada com uma ponte de strain gauges, instalando medidores em configurações axial (posição 1) e de Poisson (posição 2). A estrutura é submetida a uma força axial, resultando em deformações axiais e laterais. Determine a constante da ponte.



Exercícios

▪ Ex. 8.3)

- Ponte de Wheatstone equilibrada, dois gauges iguais:

- $\Delta E_o = E_i \frac{GF}{4} (\varepsilon_1 - \varepsilon_2) = E_i \frac{GF}{4} (\varepsilon_a + \nu_p \varepsilon_a) = E_i \frac{GF}{4} \varepsilon_a (1 + \nu_p);$

- Constante de ponte:

- $\kappa = \frac{\Delta E_{o,\text{multi}}}{\Delta E_{o,\text{single}}} = \frac{\varepsilon_a(1+\nu_p)}{\varepsilon_a} = 1 + \nu_p.$

Exercícios

- **Ex. 8.4)** Uma barra com seção circular (área de 3 cm^2) é submetida a uma força de tração de 10 kN . A estrutura é monitorada com um par de strain gauges, retornando deformação axial de $600 \mu\epsilon$ e deformação lateral de $-163 \mu\epsilon$.
 - a) Determine o módulo de elasticidade e o coeficiente de Poisson do material.

Exercícios

▪ Ex. 8.4)

- Tensão axial:

- $\sigma_a = \frac{F_a}{A} = \frac{10 \times 10^3}{3(10^{-2})^2} = 33.33 \text{ MPa};$

- Módulo de Young (assumindo deformação elástica):

- $\sigma_a = E_m \varepsilon_a \Rightarrow E_m = \frac{33.33 \times 10^6}{600 \times 10^{-6}} = 55.6 \text{ GPa};$

- Coeficiente de Possion:

- $\nu_p = -\frac{\varepsilon_L}{\varepsilon_a} = \frac{163}{600} = 0.27.$

Exercícios

- **Ex. 8.5)** Seja um viga simplesmente engastada e excitada por uma força transversal na extremidade livre. A deflexão da viga é monitorada por quatro strain gauges axiais, dois posicionados na parte superior e dois posicionados na parte inferior. A saída da ponte de Wheatstone é amplificada com ganho $\times 1000$, resultando em tensão de 1 V. Determine a força transversal.
- Dados:
 - Strain gauges: $GF = 2$;
 - Ponte de Wheatstone: $E_i = 5 \text{ V}$;
 - Viga: $F = \frac{2E_m I \varepsilon}{Lt}$, onde $E_m = 200 \text{ Gpa}$, $L = 0.1 \text{ m}$, $t = 0.01 \text{ m}$,
 $I = \frac{bt^3}{12}$ com $b = 0.03 \text{ m}$.

Exercícios

▪ Ex. 8.5)

- Ponte de Wheatstone, ajustando os gauges para $\kappa = 4$:

- $\frac{\Delta E_o}{E_i} = GF\varepsilon \Rightarrow \varepsilon = \frac{1 \times 10^{-3}}{5 \cdot 2} = 10^{-4} \varepsilon;$

- Força:

- $F = \frac{2E_m I \varepsilon}{Lt} = 100 \text{ N}.$